

C₂H₃O



mf Cu₃CO

1932

Rollefson G.K., Faull R.F.,

J. Amer. Chem. Soc., 1932, 54, 625

Безумно низкое значение
ИСХОДА, СУЩЕСТВУЮЩЕГО

Коэффициенты Капиляризации Y₂ низкие
при азотной температуре. T = 6720 K

(Ch. O'Neill, Person, 1964
J. Ch. Ph. 40, 302)

$\text{M}_2\text{Cu}_3\text{CO}_6$.

1303

Walker O. J., Wild G. L. E.,

J. chem. Soc., 1952, 1132

Термическое и спиритуальное
переведение "перманентного"
известия

$\text{Cu}_3\text{CO}_6 \cdot \text{O} \cdot \text{CO}_2$ термически
разлагается при температуре 200° на две фракции 49%
Реакция переведения дает



но Е не выделено

$\Delta(\text{CH}_2-\text{CO})$	$\text{He}-\text{He}^0$	1939
$\Delta(\text{CH}_2-\text{H})$	Gorin E.	
$\Delta(\text{CO}-\text{H})$	<p>$\text{J. Chem. Phys.}, 1939, 7, 256$</p> <p>Физиологичні альгіномічні і кисневі властивості відповідають вимогам вітаміну С. Вітамін С є антиоксидантом, який захищає клітини від впливу вільних радикалів. Вітамін С є антиоксидантом, який захищає клітини від впливу вільних радикалів. Вітамін С є антиоксидантом, який захищає клітини від впливу вільних радикалів. Вітамін С є антиоксидантом, який захищає клітини від впливу вільних радикалів.</p>	
37 $\text{C}_6\text{O}_6\text{H}_4$)	<p>CH_3, const.</p> <p>Розраховано $\Delta(\text{CH}_2-\text{H})$ $< 28 \text{ ккал}$ (до максимуму), $\Delta(\text{CO}-\text{H}) < 26 \text{ ккал}$. Т.к. вітамін</p>	$\text{Rouyano}, 200$

связь с теплоизвлечением генераторов CO
ИСКО \rightarrow $CO + 2H + 10^4 \text{ ккал} / \text{моль}$, то при сжигании
 $2(CH_3 - H) + 2(CO - H) = 10^4 \text{ ккал}$, т.е. сжигание пропана,
но консервированное генераторы газогенераторные
приводят, а генераторы.

~~E~~ $E(CH_3 - \overset{CO}{\cancel{H}}) \approx 17^{+1} \text{ ккал}$ - вносимо в
затраченное сжиганием при CO -от перегородки,
но же "привод" генератора

11-4464 1949

D4299/12

Carson A.S., Skinner H.A.

 $\text{CH}_3\text{C}=\overset{\circ}{\text{O}}$ (Kc) =

= -110,6

J. Chem. Soc., 1949, 938 - 939

зимний день зеленый
и ярко-зеленый $\text{CH}_3\text{C}=\overset{\circ}{\text{O}}$ (Ku) =

= -65,8

D4f $\text{CH}_3\text{CO} = -11,9$ зима $\text{CH}_3\text{C}=\overset{\circ}{\text{O}}$ (Ku) =

= -53,9

но розео-зеленый

 $\text{CH}_3\text{C}=\overset{\circ}{\text{O}}$ (Ku) =

= -39,7

Steele „Atomic..“, 1946 год

Existence $\text{CH}_3\text{CO} \rightarrow \text{CH}_3 + \text{CO}$ $\text{CH}_3\text{C}=\overset{\circ}{\text{O}}$ (Ku) =

= -11,3 Kcal

1955

$\text{Mg}^{+2}, \text{MgO}; \text{CaMgO}_3, \text{Ca}_2\text{MgO}_4$

Adler D.G., Brett H.W., Gray P.,

Chemistry and Industry, 1955, 1512

обсуждение и применение аллюмини-
-предцелей при извлечении алюминия

используемой технологи-
и. Проведено исследование

прогресса извлечения металлов.

но Т.Х. илл E в 2000 кратков
сроке не

~~Si(CH₃)₂O~~) Re-220

1955

D(Cu-CO) Szwarc M., Taylor W.Y.

$\approx 17 \text{ \AA}$

J. Chem. Phys., 1955, 23, 2310

200 волнистые
волны

Первый азотон в тенице обработки

D(H-CO) $\approx 30 \text{ \AA}$ в тенице азота.

Идеальная первая азотона в тенице

теница. Следует помнить что если

свободно обработаны CO. Применение

сп. первые: $\text{CH}_3\text{COCH}_3 \rightarrow \text{CH}_3 + \text{CO}$ (легк.)

$\text{CH}_3\text{CO} \rightarrow \text{CH}_3 + \text{CO}$ (сложно). Равенство, 260

Первый азотон первоначально имеет длину волны равную 260 \AA . Использование CO-CO₂

свой

stetigen Öl & acet-gegenüber fahrt $\sim 10,8 \text{ cm/s}$
ausgeg. Diff. $D(\text{CH}_3-\text{CO}) \approx 17 \text{ cm}^2/\text{sec}$

IV-432

$\text{CH}_3\text{CO} (\Delta H)$

1957

Moseley F., Robb J.C.

Proc. Roy Soc., 1957, A243, N 1232,
119-129, 130-142 (ann.)

A method for the direct determination
of the rate constants for radical-
radical interactions in the gas phase. I.
The technique of investigation. II. The
rate constant for the recombination
of methyl radicals

PK., 1953, N 21, 70078

M

on
CH₃CO

Calvert Y. G., Graver Y. T.,

1899

JACS, 1899, 80, 1313

luminescence acceleration tempo-

Chesworth luminescent cloisite clay
products pepperella area

Mf ≈ -30

$\Delta(\text{CH}_3\text{CO}-\text{H}) \approx 99$

$\Delta(\text{CH}_3\text{CO}-\text{CH}_3) \approx 82$

1958

$\Delta H_f(C_6H_5CO)$ Reed R.J., Brand Y.C.D.,

$\gamma(C_6H_5CO)$

$\gamma(C_6H_5CO)$

\geq

-4168

80

80

Tr. Far. Soc., 1859, 54, 473

Использованы месо- и десоформы
указ. в соч. 4. Известки, мелкие
частицы в глине

Напольные насыпь в

стекло-стеклодобое. Из глины =
также указана $\Delta H_f(C_6H_5CO) = -11 \text{ ккал.}$

в химии соотв. с бензой

тетраэтил. союз СССР

-12 ккал. бензопентадиен

whereas no appreciable regression
gradient is observed. Polypus

$$Y(Cu) = 9,87 \pm 0,05\text{ev}$$

$$Y(Cu, Cu) = 9,09 \pm 0,09\text{ev}$$

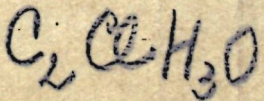
IV-4182 1961

CH_3CO^+ (A.R., Hf)

CH_3CO (H.C., J)

Do ($\text{CH}_3\text{CO}-\text{H}$, $\text{CH}_3\text{CO}-\text{Br}$, $\text{CH}_3\text{CO}-\text{Cl}$)

Major J.R., Patrich G.R., Robb J.G.
Trans. Faraday Soc., 1961, 57,
N 1, 14-22



re-41



1962

O'Neal H. E., Benson S. W.

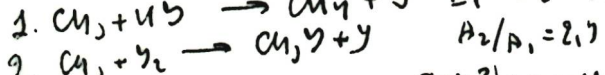
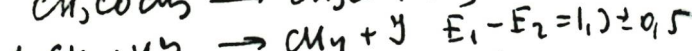
J. Chem. Phys., 1962, 36, 2496

grosser azeronie в излучении

Нγ в излучении нейтронов азота

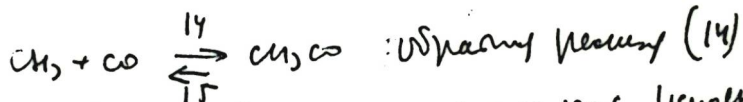
В излучении нейтронов Нγ азота

излучение приблизительно 3150 Å. Результаты и



для (3) излучения
E ≈ 10₁₀ 18 MeV (Culvert,

Gruver, 1959 " Culver, 1957)



Recy. Culver, Gruver ACS, 1957, 61, 1206. Kinetics
E₁₄^{15.8} Culver & E₁₅^{15.4} used prob., no recy.

$$\Delta H(14, 15) = 11.5 \text{ kcal/mol}$$

$$\Delta U_f(\text{CH}_3\text{CO}) = -6.2$$

Подкалье

1962

CH₃CO

SHF

O'Neal H. E., Benson S. W.

J. Chem. Phys., 1962, 37, 520

Коэффициент поглощения квантовой энергии ассоциированного и диссоциирующего изомера

$$\Delta H_f (\text{CH}_3\text{CO}, \text{рас}) = -6,3 \text{ ккал/моль}$$

$$\Delta (\text{CH}_3\text{CO}-J) = 50,6 \text{ ккал/моль}$$

1964

M670-IV
 $(\Delta H_f^\circ, J) \text{CH}_3\text{CO}; \text{ Do}(\text{CH}_3\text{-CO}); \text{ Do}(\text{CH}_3\text{CO-CH}_3);$
 $\text{Do}(\text{CH}_3\text{CO-COCH}_3); \text{ Do}(\text{CH}_3\text{CO-H});$

Murad E., Inghram M.G.
J.Chem.Phys., 1964, 41, N2, 404-409

Thermodynamic properties of ...

M,J

F

PX, 1965, 12 80

C_2H_2O

1964-65

B9P-55M-IV | 1964

CH_3CO

$\text{C}_2\text{H}_3\text{CO}^+$

Murad E., Ingram MG

($\gamma, \Delta H_f$) " *J. Chem. Phys.*", 1964, 40,
N11, 3263-75-

CH_3CO

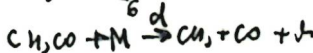
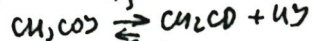
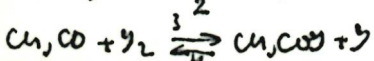
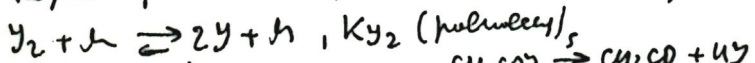
1564

O'Neal H.E., Benson S.W.,

J. Chem. Phys., 1964, 40, 302

Изучение изотопов гелия γ_2 в газах
 $\text{CH}_3\text{CO} + \text{C}_2\text{H}_5\text{CHO}$ в изобарической

Радиоактивных газах Rolleffson, Faull, 1972
из кислого изотопа гелия γ_2 газов CH_3CO .
Радиоактивный гелий. Источник излучения:



1965

 CH_3CO^+ $(\text{CH}_3)_2\text{CO}$

hydrogenated
isobutyric
anhydride

Fragment ions from CH_3CHO and $(\text{CH}_3)_2\text{CO}$ by electron impact. F. H. Dorman (Div. Chem. Phys., C.S.I.R.O., Melbourne). *J. Chem. Phys.* 42(1), 65-8(1965)(Eng). The ionization-efficiency curves for the parent and fragment ions from CH_3CHO and $(\text{CH}_3)_2\text{CO}$ were examd. by the 2nd differential method. The appearance potentials for CH_3CO^+ , namely, 10.2 ± 0.1 ev. $[(\text{CH}_3)_2\text{CO}]$ and 10.5 ± 0.2 ev. (CH_3CHO) , are much lower than previously accepted electron-impact values. Apart from $\text{CO}^+(\text{CH}_3\text{CHO})$, no appearance potentials can be easily obtained for any of the other fragment ions. No kinetic energy was found for the light ion CH_3^+ , nor the heavier ions CO^+ , $\text{HCO}^+(\text{CH}_3\text{CHO})$, and $\text{CH}_3\text{CO}^+[(\text{CH}_3)_2\text{CO}]$. RCJQ

C.A. 1965.62.4

3492 d

50 13.2908
ch 4

1965
 $\text{CH}_3\text{CO}(\text{OKf})$ № М1727

Kerr J. Alistair, Calvert Jack G.

The formation and decomposition reactions
of the acetyl radical and the heat of
formation of the acetyl radical. "J. Phys.
Chem.", 1965, 69, N 3, 1022-1029

$\text{C}_2\text{H}_3\text{O}$ (англ.)

Есть оригинал

М

ВИНИТИ

773

11899 $\left[\text{CuL}_{237} \text{CH}_3\text{CO}(\text{w}) \right] = \text{CuL Cu}_2$ в 2-х куп.- 1565
Golden Z.H. . . - 4 $\begin{matrix} +1 \\ -2 \end{matrix}$ куп/брл.

YACS, 1565, 82(19) 4050 (a. cop 4057)

Диметиламин, купр. $\text{CuL}_{237}(\text{Cu}, 2) = 341 \pm 0.5$
всего профиль продукт $\text{Hf}(\text{Cu}, \text{CO}, 2)$. Т.е. у
борна, купр. зеленый от Cu_2 [O, Neal, Benson, 1962 cjjp 2196;
Kerr, Colvert, 1965; Мирош, Чиганов., 1964, a. cop 404] приводят
 $\kappa \text{CuL}_{237}(\text{Cu}, \text{CO}) = -2,92 \pm 1,15$. Рассчитаны, независимо от
 HfCu_2 и от диметиламин- как к превышению бора, P,
которые получены из приведенных более

бескисл., измерена при температуре в 15°C (согласно
результатам Ньютона и Чарльза Коулса, 1962, 540 см⁻¹)
для пиролиза при ΔH_f^{298} $\text{to} \text{CH}_3\text{CO} = -6,0 \pm 2,0$, т.е.
 ± 6 при измерении F, T. 4. Е $\text{CH}_3\text{CO} + Y_2$ измеренны
одинаково, и в - за измерением $\Delta H_f^{298} \text{CH}_3\text{CO}$,
причем измеряется погрешность не более ± 2 . Но
если предположить измерение температуры, $T = 298$
измеренное значение, бескисл., в соответствии с
Корнеллом, Колвертом 1965, $\Delta H_f^{298,13}(\text{CH}_3\text{CO}, 2) = -4 \pm \frac{1}{2}$

1965

M 1162 - IV

CH_3Cl , $\text{C}_2\text{H}_5\text{Cl}$, CCl_4 , CH_3NO_2 , CH_3NH_2 , CH_3COOH ,
 $\text{C}_2\text{H}_2\text{SH}$, $\text{C}_2\text{H}_6\text{O}_2$, $\text{C}_2\text{H}_5\text{NH}_2$, $(\text{CH}_3)_2\text{NH}$, CH_3CO_2 ,
 $\text{CH}_2\text{CH}_2\text{O}$, $\text{C}_2\text{H}_4\text{Cl}_2$, $\text{C}_2\text{H}_2\text{Cl}_4$ (ΔH_f)

Verma K.K., Doraiswamy L.K.

Ind. Eng. Chem. Fundamentals, 1965, 4(4),
389-96

Estimation of heats of formation
of organic compounds

$\text{C}_2\text{H}_3\text{O}$

M

CA., 1965, 63, N13, 17221f

1966

4 Б29. Энергетика образования некоторых содержащих кислород ионов и сродство к протону карбонильных соединений. Garrison A. G., Ivko A., Van Raalte D. Energetics of formation of some oxygenated ions and the proton affinities of carbonyl compounds. «Canad. J. Chem.», 1966, 44, № 14, 1625—1632 (англ.)

В масс-спектрах спиртов (метилового, этилового, *n*-пропилового, *изо*-пропилового, *втор*-бутилового), эфиров (метилэтилового, диэтилового, диметилового) и сложных эфиров (HCOOCH_3 , $\text{HCOOCH}(\text{CH}_3)_2$, $\text{HCOO}(\text{C}_2\text{H}_5)$, $\text{CH}_3\text{COOCH}_3$, CH_3ONO) определены потенциалы появления (ПП) ионов с массами 31, 45 и 59. На основе знания ПП, вычислены теплоты образования (ΔH_f) соответствующих ионов. Используя в ряде случаев метод дейтерием, выяснены механизмы образования ионов. Сведения о механизме подтверждаются значениями теплот образования ионов. Так, ионы с массой 31 в спектрах

(+) 4

Х. 1967. Ч

См. наб.

1

существуют либо в форме $\text{CH}_2=\text{OH}^+$ (I) ($\Delta H_f = 174 - 187$ ккал/моль), либо в виде CH_3O^+ ($\Delta H_f = 210 - 217$ ккал/моль), ионы с массой 45 — в форме $\text{CH}_3\text{CH}=\text{OH}^+$ (II) ($\Delta H_f = 145 \pm 3$ ккал/моль) или в форме $\text{CH}_2=\text{OCH}_3^+ + (\Delta H_f = 170 \pm 3$ ккал/моль). Ионы с массой 59 существуют, по крайней мере, в 5 видах: $(\text{CH}_3)_2\text{C}=\text{OH}^+$ ($\Delta H_f = 125$ ккал/моль), $\text{CH}_3-\text{CH}_2-\text{CH}=\text{OH}^+$ (III) ($\Delta H_f = 131$ ккал/моль), $\text{CH}_3-\text{CH}=\text{OCH}_3^+$ ($\Delta H_f = 135$ ккал/моль), $\text{CH}_2=\text{OC}_2\text{H}_5^+$ ($\Delta H_f = 144$ ккал/моль), $\text{CH}_2=\text{OCH}_3^+$ ($\Delta H_f = 170$ ккал/моль). Ионы I, II, III можно рассматривать как результат взаимодействия протона H^+ в газовой фазе с нейтр. молекулой формальдегида, ацетальдегида и пропионового альдегида соотв. Исходя из этого, авторы вычислили сродство протона к карбонильным соединениям типа RCOOH_2^+ , где $\text{R}=\text{H}, \text{CH}_3, \text{C}_2\text{H}_5$.

М. Туркина

CH_3CO

Walsh R., Benson S.W. 1966

13.02, 18.43 - 14.

Z. Phys. Chem., 70(II), 3751.

ΔH_f

Heats of formation of
acetyl iodide and the
acetyl radical.

(ca. CH_3COI)

$\text{CH}_3\text{O}(\text{CO})^-$

1969

8 Б1035. Термодинамика образования метоксикарбонил-иона.
Briggs P. R., Shannon T. W. The Heat of formation
of the methoxycarbonyl ion. «J. Amer. Chem. Soc.»,
1969, 91, № 15, 4307—4309 (англ.)

ΔH_f

X. 1970.

8

(BGP-8359-XIK)

1969

CH_3CO (ray)

Devore F. A.
O'Neal J. S.

ΔH_f

J. Phys. Chem., 73(8),
2644.

(cell $\cdot \text{CH}_3\text{COCl})_T$

CH3CO

Hoops.

Bp - 8354 - XIV

1969

Haney M. A.

Franklin Y. H.

Trans. Faraday

Soc., 1969, 65, n^o 7,

1794.

(CuCl₃O)₇

ВФ - 83 65 - XIV

1969

CH₃CO

21 Б857. Пиролиз и влияние третьей частицы на рекомбинацию метильных радикалов. Hole K. J., Mulcahy M. F. R. The pyrolysis of biacetyl and the third-body effect on the combination of methyl radicals. «J. Phys. Chem.», 1969, 73, № 1, 177—185 (англ.)

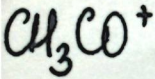
Пиролиз днацетила (**I**) изучался при 404—503° и давл. 0,6—45 мм в струевом реакторе с перемешиванием. Опыты проводились до 5%-ного превращения **I**. Основные продукты пиролиза: CO, CH₄, CH₂CO, CH₃COCH₃, C₂H₆ и 2,3-пентадион образуются в кол-вах <5%. Распад **I** протекает гомогенно с эффективной константой скорости $10^{11.4} \exp(-47140/RT)$ сек⁻¹. Авторы считают, что

ΔHf

X · 1969 · 21

ацетон образуется по р-ции: $\text{CH}_3 + \text{CH}_3\text{COCOCH}_3 =$
 $= \text{CH}_3\text{COCH}_3 + \text{CH}_3\text{CO}$ с константой скорости $2 \cdot 10^{10} \exp(-6300/RT) \text{ см}^3 \cdot \text{моль}^{-1} \cdot \text{сек}^{-1}$. Образование этана из ра-
дикалов CH_3 идет тримолекулярно по р-ции $\text{CH}_3 + \text{CH}_3 +$
 $+ M = \text{C}_2\text{H}_6 + M$ (1). Давление, при к-ром константа ско-
рости второго порядка рекомбинации CH_3 становится в
2 раза меньше, равно 14 ми при 677° К . Рассчитана
 $k_1 = 2 \cdot 10^{16} \exp(+13000/RT) \text{ см}^6 \cdot \text{моль}^{-2} \cdot \text{сек}^{-1}$. Предпола-
гается, что р-ция (1) идет через образование разрыхлен-
ного активированного комплекса. Термодинамика образования
ацетильного радикала оценена в $-5,1 \pm 2,0 \text{ ккал/моль}$.

С. С. Поляк



16 Б/52. Изменение характера влияния заместителя на стабильность катионов при переходе от газообразной фазы к жидкой. Larsen John W., Bouis Paul A., Grant Michael W., Lane Charles A. Reversal of a substituent effect on cation stabilities between the gas and liquid phases. «J. Amer. Chem. Soc.», 1971, 93, № 8, 2067—2068 (англ.)

1971

ΔH_f

Калориметрически определены относительные значения теплот образования ионов $R-\text{C}^+=\text{O}$ (где $R=\text{Me}$, Et , ~~изопропил~~, Pr , трет-Bu) из $R-\text{C}(=\text{O})\text{Cl}$ в р-ре SbF_5 (11,5 мол. %) — FSO_3H при т-ре 25°. Для сравнения найденных значений с теплотами образования тех же ионов в газовой фазе необходимы отсутствующие в настоящее время термохим. данные для соотв-щих соединений $R-\text{C}(=\text{O})\text{Cl}$. В связи с этим проведено сравнение влияния заместителя на теплоты р-ций образования катионов в газовой фазе и в р-ре. Отмечено, что для газовой фазы соблюдается обычный индуктивный порядок, в то время как в р-ре имеет место порядок Бейкера—Натана. Последнее объяснено влиянием растворителя.

В. Ф. Байбуз

X/IV-233

Х: 1971. 16

50402.1305

Ch, TC

40597

$\text{CH}_3\text{CO}(\text{dHf})\text{-x}$ 4-8407

1974

Watkins K.W., World William W. Addition
of methyl radicals to carbon monoxide:
Chemically and thermally activated
decomposition of acetyl radicals.

"Int. J. Chem. Kinet.", 1974, 6, N6, 855-873

(англ.)

0329 пик

312 313 2 2 1

ВИНИТИ

XIV-6858

1975

CH₂CHO

(AHf)

84: 50322m Reactions of atomic oxygen(-) with molecular nitrogen, nitrous oxide, sulfur dioxide, ammonia, methane, and ethylene, and ethenylidene radical ion(1-) with molecular oxygen from 300°K to relative kinetic energies of ~2 eV. Lindinger, W.; Albritton, D. L.; Fehsenfeld, F. C.; Ferguson, E. E. (Environ. Res. Lab., Natl. Oceanic Atmos. Adm., Boulder, Colo.). *J. Chem. Phys.* 1975, 63(8), 3238-42, (Eng). The energy dependences of the rate consts. were measured for the reactions of O⁻ with N₂, N₂O, SO₂, NH₃, CH₄, and C₂H₄ at relative kinetic energies $KE_{cm} = 0.04\text{--}2.0$ eV, and for the reaction C₂H₂⁻ + O₂ → O₂⁻ + C₂H₂ at $KE_{cm} = 0.04\text{--}0.6$ eV, where C₂H₂⁻ represents the radical ion (:C:CH₂)¹⁻. The energy dependences of the overall reaction rate consts. did not fit the available theories for collision rate consts. The reaction of O⁻ with C₂H₄ produced 4 different neg.-ion product channels in addn. to the associative-detachment channel; C₂H₂⁻ was the major ion product at low energies. From the results, the bounds established for the electron affinities of CH₂:C and CH₂:CH⁻ are <0.43 and >0.4 eV, resp. The bound established for the heat of formation of (CH₂:CHO)¹⁻ is $\Delta H_f^\circ \leq -0.62$ eV.

C.I. 1976 84 N8

C_2H_3O $C_2H_2O^-$ $C_2H_3(A\bar{e})$
 (ΔH_f)

41

49

6 Б949. Реакции иона O^- с N_2 , N_2O , SO_2 , NH_3 , CH_4 и C_2H_4 , а также иона $C_2H_2^-$ с O_2 в области от $300^\circ K$ до относительных кинетических энергий ~ 2 эв. Lindinger W., Albritton D. L., Fehsenfeld F. C., Ferguson E. E. Reactions of O^- with N_2 , N_2O , SO_2 , NH_3 , CH_4 , and C_2H_4 and $C_2H_2^-$ with O_2 from $300^\circ K$ to relative kinetic energies of ~ 2 eV. «J. Chem. Phys.», 1975, № 8, 3238—3242 (англ.)

При помощи комбинации дрейфовой трубы и масс-спектрометра измерены константы скорости k ион-молек. р-ций ионов O^- , OH^- и $C_2H_2^-$ с рядом молекул при тепловых энергиях реагентов при $300^\circ K$ (10^{-10} см 3 /молекула·сек): $O^- + N_2 \rightarrow N_2O + e < 0,01$; $O^- + N_2O \rightarrow NO^- + NO$ 2,0; $O^- + SO_2 \rightarrow SO_3 + e$ (или $\rightarrow SO_2^- + O$) 21; $O^- + NH_3 \rightarrow OH^- + NH_2$ 15; $O^- + CH_4 \rightarrow OH^- + CH_3$ 8; $O^- + C_2H_4 \rightarrow C_2H_2^- + H_2O$ (или $\rightarrow C_2H_4O + e$) 7; $OH^- + C_2H_4 \rightarrow C_2H_3^- + H_2O \sim 0,3$ (при относит. энер-

гии реагентов $E \approx 1$ эв); $C_2H_2^- + O_2 \rightarrow O_2^- + C_2H_2$. З. С ростом E до ~ 2 эв величины k в большинстве случаев сначала уменьшаются быстрее, чем предсказывает теория усредненной дипольной ориентации, а затем остаются неизменными или, пройдя через минимум, начинают возрастать. Р-ция $O^- + C_2H_4$ протекает по 5 экзотермич. каналам с образованием $C_2H_2^- + H_2O$; $OH^- + + C_2H_3$; $C_2H_3O^- + H$; $C_2OH^- + 3H$; $C_2H_4O + e$. Их соотношение зависит от E . Даны оценки сродства к электрону: $A(:C=CH_2) < 0,43$ эв; $A(C_2H_3) > 0,4$ эв, и теплоты образования $C_2H_3O^- \Delta H_f^0(C_2H_2O^-) < -0,62$ эв.

В. Е. Скурат

CH_3CO

4 15578

1976

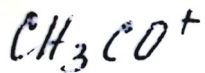
Bischoff P.

(ΔH_f)

J. Amer. Chem Soc
1976, 98, N 2d, 6844-49

Отмеч 5863

1977



у

4 Б762. Сродство к протону кетена и теплота образования CH_3CO^+ . Ausloos P., Lias S. G. The proton affinity of Ketene and the heat of formation of CH_3CO^+ . «Chem. Phys. Lett.», 1977, 51, № 1, 53—56 (нем.)

С помощью циклотронного резонансного масс-спектрометра измерена константа равновесия (K) р-ции $\text{CH}_3\text{COCH}_3\text{H}^+ + \text{CH}_2\text{CO} = \text{CH}_3\text{CO}^+ + \text{CH}_3\text{COCH}_3$ (1). Величина K процесса (1) составила $1,31 \pm 0,05$ при 350°K . Расчет K по константам скоростей прямой ($k = 2,98 \cdot 10^{-10} \text{ см}^3/\text{моль}\cdot\text{сек}$) и обратной р-ций ($k = 2,30 \cdot 10^{-10} \text{ см}^3/\text{моль}\cdot\text{сек}$) дал величину 1,30. Методами статистич. термодинамики вычислены энтропии реагентов, энергия Гиббса 0,19 ккал/моль и энталпия $-0,54$ ккал/моль р-ции (1). Масс-спектрометрически при 350°K определена константа равновесия р-ции трет- $\text{C}_4\text{H}_9^+ + \text{CH}_3\text{COCH}_3 = \text{CH}_3\text{COCH}_3\text{H}^+ +$ изо- C_4H_8 (2), равная 12,4, и вычислены энергия Гиббса и энталпия процесса (2), равные

$\Delta H_f, K_p$

д. 1948, № 4

—1,76 и —0,11 ккал/моль, а также сродство к протону ацетона 189 ± 2 ккал/моль. Рассчитаны сродство к протону и энталпия образования протонированного кетена, к-рые составили $189,5 \pm 2$ и $164,5 \pm 2$ ккал/моль. Использование более надежных данных по сродству к протону изобутена ($193,5 \pm 1$ ккал/моль при образовании из неопентана) дало для сродства к протону ацетона и кетена соотв. $193,6 \pm 1$ и $194,1 \pm 1$ ккал/моль, а также $\Delta H_{обр}(CH_3CO^+) = 161,5 \pm 1$ ккал/моль.

П. М. Чукuroв



CH_3CO^+

отмечи 5863

1977

2Д117. Сродство к протону кетена и теплота образования CH_3CO^+ . Ausloos P., Lias S. G. The proton affinity of ketene and the heat of formation of

CH_3CO^+ . «Chem. Phys. Lett.», 1977, 51, № 1, 53—56
(нем.)

С помощью спектроскопии импульсного ионного циклотронного резонанса исследована равновесная реакция протонного переноса между ацетоном и кетеном и найдены величины протонного сродства ацетона (193,6) и кетена (194,1 ккал/моль). Полученные результаты использованы для определения теплоты образования CH_3CO^+ (161,5).

Резюме

Ф. 1978 № 2

№ (+) $\text{CH}_3\text{CO}^+ (A_{\text{H}}^+)$

CaH_3O^+
 CaD_3O^+

1977

Rosenstock H. M. et al

J. Phys. Chem. Ref. Data,
1977, 6. Suppl. v1, p 1-281
1-283

T.G. CBA

CH_3CO^+ Dsmnach 6270 1978

Davidson W.R.; et al.

SHF Can. J. Chem., 1978,
AH⁺ 56 1016

gas phase dissociation
of protonated acetic acid...

CH_3CO^+ Lommel 9380 1979

Davidson W.R., et al.

(ΔHf)

Can. J. Chem. 1979, 57
3205-3215

1979



(117) 9542
XIV

3 Б1111. Гомогенное разложение виниловых эфиров. Термодаты образования 2-этанальильного радикала. Rossi M., Golden D. M. Homogeneous decomposition of vinyl ethers. The heat of formation of ethanal-2-yl. «Int. J. Chem. Kinet.», 1979, 11, № 7, 715—730 (англ.)

Методом высоковакуумного пиролиза определен состав продуктов и измерены скорости распада $\text{CH}_3\text{CH}_2\text{OCH}=\text{CH}_2$ (I) при 750—1100° К, трет- BuOC_2H_3 (II) и $\text{PhCH}_2\text{OC}_2\text{H}_3$ (III) при 650—900° К. Показано, что разл. I и II протекает через циклич. переходное состояние по р-циям $\text{I} \rightarrow \text{CH}_3\text{CHO} + \text{C}_2\text{H}_4$ и $\text{II} \rightarrow \text{CH}_3\text{CHO} + \text{Me}_2\text{C}=\text{CH}_2$. Не обнаружено никаких признаков распада I и II на радикалы. Радикальный распад осуществляется в случае III: $\text{III} \rightarrow \text{PhCH}_2 + \cdot\text{CH}_2\text{CHO}$. В пределе высоких давл. энергия активации (ккал/моль) и $\lg A$ (сек⁻¹) для I—III равны соотв. 43,4 и 11,47; 38,4 и 12,0; 53,74 и 16,63. Используя значения теплот образования PhCH_2 и III, 47,0 и —1,73 ккал/моль, авторы нашли $\Delta H_{f,300}^\circ(\cdot\text{CH}_2\text{CHO}) = 3$ ккал/моль; энергия стабилизации радикала $\cdot\text{CH}_2\text{CHO}$ равна $3,2 \pm 2$ ккал/моль.

Г. М. Назин

Х-1980. N 3

$\text{CH}_3\text{C}=\text{O}$

1981

$\boxed{\text{C}_2\text{H}_3\text{O}^-}$

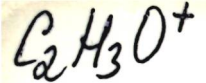
Chandrasekhar J. A. J. G.,
et al.

ΔM_f ; Kb. ceeex.
paeeleit.

J. Amer. Chem. Soc, 1981,
103, N18, 5612 - 5614.

I

(cee. $\text{HC}=\text{O}$; III).



[Omnick 13973]

1982

Fraser - Mortelro M. L.,
Fraser - Mortelro L., et al

1M°
f₂₉₈

J. Phys. Chem., 1982, 86,
NS, 739-747.



(an $\text{C}_2\text{H}_3\text{O}_2^+$, I)

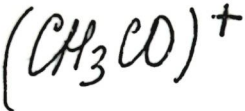
$\text{CH}_3\text{CO}(2)$ [Om. 21314]

1982

McMillen D.F., Golden D.M.,

$\Delta_f H^\circ$: Ann. Rev. Phys. Chem. 1982,
33: 493 - 532.

1982



5 Б131. Термодинамическая характеристика ацетильного катиона в газовой фазе. Heat of formation for acetyl cation in the gas phase. Traeger John C., McLoughlin Russell G., Nicholson A. J. C. «J. Amer. Chem. Soc.», 1982, 104, № 20, 5318—5322 (англ.)

Получены припороговые кривые фотоионизации и определены энергии появления (ЭП) иона $[\text{CH}_3\text{CO}]^+$, образующегося из CH_3COX ($X = \text{H}, \text{CH}_3, \text{C}_2\text{H}_5, \text{OH}, \text{CH}_3\text{O}, \text{CH}_3\text{CO}, \text{CH}_3\text{COO}, \text{Cl}$, Br, I; ЭП равен (в эВ) 10,67; 10,38; 10,32; 11,54; 11,05; 9,88; 10,14; 10,78; 10,24; 9,28 соответственно). Отсюда описанным ранее методом (см. Traeger J. C., McLoughlin R. G., «J. Am. Chem. Soc.», 1981, 103, 3647) вычислена величина $\Delta H^\circ_{f,298}([\text{CH}_3\text{CO}]^+) = 657,0 \pm 1,5$ кДж/моль (без учета данных, где ЭП иона совпадает с энергией ионизации исходного соединения) и величина абс. сродства кетена к протону, равная $825,4 \pm 3,2$ кДж/моль. Вычислен верхний предел теплоты образования радикала $\text{CH}_3\text{COO}^\cdot$, равный —227 кДж/моль.

А. Кирюшкин

+2

Х. 1983, 19,

N5 $[\text{CH}_3\text{CO}]^+ (\Delta H_f)$, $\text{CH}_3\text{COO}^\cdot / \text{Br}$

$\text{CH}_3\text{CO}^+(P)$

1982

97: 134447n Heat of formation for acetyl cation in the gas phase. Traeger, John C.; McLoughlin, Russell G.; Nicholson, A. J. C. (Dep. Phys. Chem., La Trobe Univ., Bundoora, 3083 Australia). *J. Am. Chem. Soc.* 1982, 104(20), 5318-22 (Eng.). The ionization energies and CH_3CO^+ appearance energies were measured by photoionization mass spectrometry for a series of substituted Me ketones. When the stationary electron convention for cationic heats of formation is used, a value of 657.0 ± 1.5 kJ/mol is obtained for $\Delta H_f^{\circ 298}(\text{CH}_3\text{CO}^+)$, which leads to an abs. proton affinity for ketene of 825.4 ± 3.2 kJ/mol. Previous acetyl cation heats of formation obtained from photoionization data are in error because of an incorrect method of calcn. From the results for acetic anhydride, an upper limit of ≤ 227 kJ/mol can be placed on the heat of formation for the acetoxy radical. With few exceptions, there is little evidence to suggest any significant excess energy at the decomprn. threshold. It is shown that translational energy measurements made at energies greater than threshold cannot be applied in a straightforward manner as thermochem. corrections for the exptl. CH_3CO^+ appearance energies.

Df Ho;

C.A. 1982, 97, N 16

CH3COCl (OM-211C) 1984

Lossing F.P., Holmes J.L.

1fH;
J. Amer. Chem. Soc.,
1984, 106, 6917-6920.
D_{CBSSR}

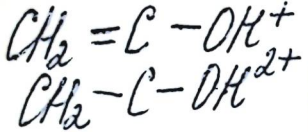
CH_2CHO

1985

Knowles Peter J., Wer-
rer Hans Joachim.

meop.
paeviee,
koeneob. 1985, 115(3), 259-67.
Op-ueer.

(Ces. CH_2 ; III)



1985

4 Б3034. Об образовании двухзарядных катион-радикалов из ацетил- и 1-гидроксивинил-катиона в газовой фазе. Совместное экспериментальное и неэмпирическое исследование. On the formation of doubly charged cation radicals from acetyl and 1-hydroxyvinyl cations in the gas phase. A combined experimental and ab initio study. Koch W., Schwarz H., Maquin F., Stahl D. «Int. J. Mass Spectrom. and Ion Process.», 1985, 67, № 2, 171—177 (англ.)

По данным МС со срывом заряда окисление 1-гидроксивинил-катиона в дикатион-радикал $\text{CH}_2=\text{C}-\text{OH}^+$ (I) \rightarrow $\text{CH}_2-\text{C}-\text{OH}^{2+}$ (II) требует энергии 18,7 эВ; согласно неэмпирич. расчетам ΔH° (обр., II) = = 612 ккал/моль. В отличие от I ацетил-катион $\text{CH}_3-\text{C}=\text{O}^+$ при срыве заряда образует, по-видимому, не $\text{CH}_3-\text{C}-\text{O}^{2+}$, ΔH° (обр.) к-рого равна 638 ккал/моль, а перегруппировывается (возможно через ридберговское состояние CH_3CO^+) в $\text{CH}_2-\text{C}-\text{OH}^{2+}$. По резюме

X. 1986, 19, № 4

CH₂CHO

OM. 29759

1988

Орлов В.М., Мишарев А.Д
leg.,

Дети

Изд. АН СССР. Сер. хим.,
1988, №7, 1514-1515

CH_3CO

Mr. 36349

1991

116: 68725j. An examination of the heats of formation for the acetyl and trifluoroacetyl (CH_3CO and CF_3CO) radicals. Francisco, J. S.; Abersold, N. J. (Dep. Chem., Wayne State Univ., Detroit, MI 48202 USA). *Chem. Phys. Lett.* 1991, 187(4), 354-9 (Eng). The heats of formation of CH_3CO and CF_3CO mols. were detd. by using ab initio MO calcns. from isodesmic schemes. The heat of formation for CH_3CO was calcd. as -4.2 ± 2 kcal/mol, which is in good agreement with expt. and that for CF_3CO as -139.9 ± 2 kcal/mol at 298 K.

($\Delta_f H$)



(H) CF_3CO

C. A. 1992, 116, N8

CH₃CO

lom. 36659

1992

Niranen J.T., Gutman D.,
Krasnoperov L.N.,

(J.M.) J. Phys. Chem., 1992,
96, 5881-5886.

CH_3CO

1993

($A_f H$)

Sicilia Emilia,
Di Maio Francesco P.,
et al.

J. Phys. Chem. 1993, 97

(2), 528-30.

(e.g. HCO ; ?)

CH₃CO

1994

Bauschlicher Charles W.,

ΔH_f J. Phys. Chem., 1994,
(garen) 98, N 10, 2564-2566

P.M.X.N23, 1995, 235 353

CH_3CD

2000

Viskolcz, Bela;
et al.,

ΔH_f

Phys. Chem. Chem. Phys.,
2000, 2 (23), 5430 - 36.

(all. $\text{CF}_3\bullet \text{CD}, \text{T}$)